



سنگ نگاری و ژئوشیمی دولومیت‌های سازند درنجال در شرق و جنوب شرقی زرند- شمال غرب کرمان

هدا باوی، اسدالله محبوبی*، رضا موسوی حرمی

گروه زمین شناسی، دانشکده علوم، دانشگاه فردوسی مشهد

(دریافت مقاله: ۹۲/۷/۷، نسخه نهایی: ۹۲/۱۲/۳)

چکیده: نهشته‌های کربناتی سازند درنجال به سن پسین کامبرین در سه برش مورد بررسی (واقع در شرق زرند) و از دولومیت، بانداستون‌های استروماتولیتی، ماسه‌سنگ با میان لایه‌های نازک مارنی تشکیل شده‌اند. بر اساس شواهد سنگنگاری (اندازه‌ی دانه و بافت) و داده‌های ژئوشیمیایی (ایزوتوپ O^{18} δ و عنصری C^{13} δ) چهار نوع مختلف دولومیت در سازند درنجال شناسایی شدند که به صورت اولیه و ثانویه قابل مشاهده‌اند. دولومیت‌های اولیه (D_1)، ریز بلور بوده و دارای ساختهای رسوبی اولیه نظیر بافت‌های برگهای موازی و مورب هستند در صورتی که دولومیت‌های ثانویه بیشتر به صورت جانشینی و در اندازه‌های ریز (D_2 -S) تا متوسط بلور (D_2 -L)، و یا به صورت سیمان پرکننده‌ی حفره‌ها و شکستگی‌ها (D_3) مشاهده می‌شوند. بر اساس این داده‌ها، دولومیت‌های مورد بررسی طی چند مرحله، از همزمان با رسوب‌گذاری و کمی پس از آن تا مراحل تدفین در عمق متوسط تشکیل شده‌اند. آنالیزهای عنصری و روندهای افزایشی Mg در مقابل Na و نیز روند کاهشی Fe و Mn نسبت به Mg از دولومیت‌های نوع اول تا سوم نیز کاهش مقدار ایزوتوپ اکسیژن ۱۸ از دولومیت‌های ریز بلور به سمت دولومیت‌های درشت بلور نشان دهنده‌ی افزایش دگرسانی و احیایی‌تر شدن محیط همراه با تدفین است.

واژه‌های کلیدی: دولومیت؛ سنگ نگاری؛ ژئوشیمی؛ کامبرین پسین؛ زرند.

شرق زرند بیشتر از سنگ‌های دولومیتی، استروماتولیت‌های با ضخامت زیاد (۴۰ سانتی متر تا ۲ متر)، ماسه سنگ و میان لایه‌های مارنی تشکیل شده است. هدف از این پژوهش جدایش انواع دولومیت‌های سازند درنجال و تفسیر ساز و کار تشکیل آن‌هاست.

روش بررسی

در این پژوهش سه برش داهوئیه، گتکوئیه و گزوئیه از سازند درنجال در شمال غرب کرمان و شرق زرند به ترتیب با ضخامت‌های ۱۶۰، ۱۴۰ و ۱۳۰ متر اندازه‌گیری و برداشت شدند (شکل ۲-ب). به منظور انجام بررسی‌های سنگنگاری تعداد ۲۰۰ نمونه از دولومیت‌ها پس از رنگ آمیزی با آلیزارین

مقدمه

به علت فراوانی دولومیت‌ها نسبت به کلسیت در نهشته‌های پرکامبرین و کامبرین [۲، ۱] بسیاری معتقدند که دولومیت‌ها در اثر گذر زمان و تحت تاثیر عوامل مختلف شیمیایی، بهتر تشکیل می‌شوند [برای مثال: ۳]. در شمال غرب کرمان می‌توان دنباله‌ی کاملی از نهشته‌های کامبرین را مشاهده کرد به گونه‌ای که سازند درنجال به سن کامبرین پسین بایک ناپیوستگی هم شبیب روی شیل‌های سرخ رنگ و تربومولیت‌دار سازند کوهبنان به سن کامبرین میانی و در زیر نهشته‌های کربناتی سازند شیر گشت به سن اردوبویسین زیرین به صورت پیوسته قرار گرفته است [۴] (شکل ۱-الف). این سازند در تقادیس

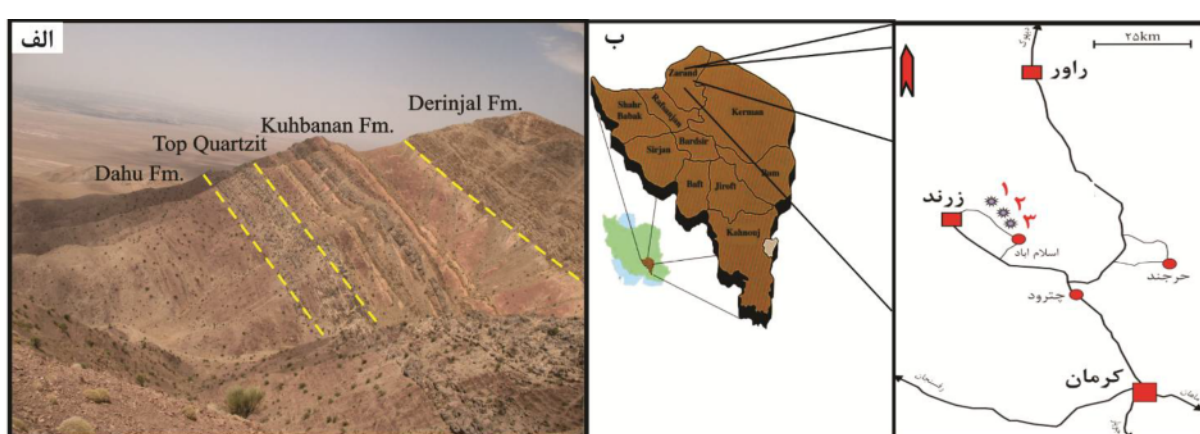
* نویسنده مسئول، تلفن نمابر: ۰۵۱ ۳۸۷۹۷۲۷۵، پست الکترونیکی: mahboubi@um.ac.ir

تقریباً یکسانند. از این رو تنها به بررسی سرنشی‌های صحرایی این سازند در برش داهوئیه که دارای بیشترین ضخامت است و نمونه‌هایی برای آنالیز از این برش برداشت شده است می‌پردازیم. ضخامت سازند درنجال در برش داهوئیه ۱۶۰ متر اندازه‌گیری شد. مرز زیرین این سازند در برش مورد بررسی با نهشته‌های کنگلولومرایی (دانه‌های کربناتی و تیره رنگ در زمینه‌ای قهوه‌ای از سیمان دولومیتی) آغاز می‌شود. روی طبقات کنگلولومرایی، دنباله‌ی دولومیت‌های فاقد آلوم و گاهی حاوی آلوم‌های اینتراکلستی و پلوئیدی، و باندستون‌های استروماتولیتی دولومیت شده همراه با میان لایه‌های مارنی و لایه‌های نازک ماسه با ساختهای مورب مسطح و ورقه‌ای موازی قرار دارد. توپوگرافی دولومیت و استروماتولیت‌ها به صورت برجسته و میان لایه‌های مارنی بر اثر فرسایش جدایشی با ریخت‌شناسی پست مشاهده می‌شوند. علاوه بر ساختهای استروماتولیتی در بخش‌های زیرین این سازند می‌توان به لایه و ورقه‌های موازی، مورب مسطح، ریپل مارک‌های موجی و طبقات فلاسر اشاره کرد. در ادامه لایه‌های اثیدار و اینتراکلستدار دولومیتی شده با میان لایه‌های متناوب مارنی دیده می‌شوند. در بخش‌های بالایی سازند، لایه‌های دولومیتی با ضخامت زیاد با میان لایه‌های مارنی به مقدار بسیار کم و ماسه سنگ مشاهده می‌شوند. علاوه بر این می‌توان مقادیر اندک شکنج‌های موجی، طبقه‌بندی مورب درهم و ترک گلی را نیز مشاهده کرد. در نهایت سازند درنجال با مرزی پیوسته و تدریجی به سنگ‌های کربناتی سازند شیرگشت تبدیل می‌شوند (شکل ۲).

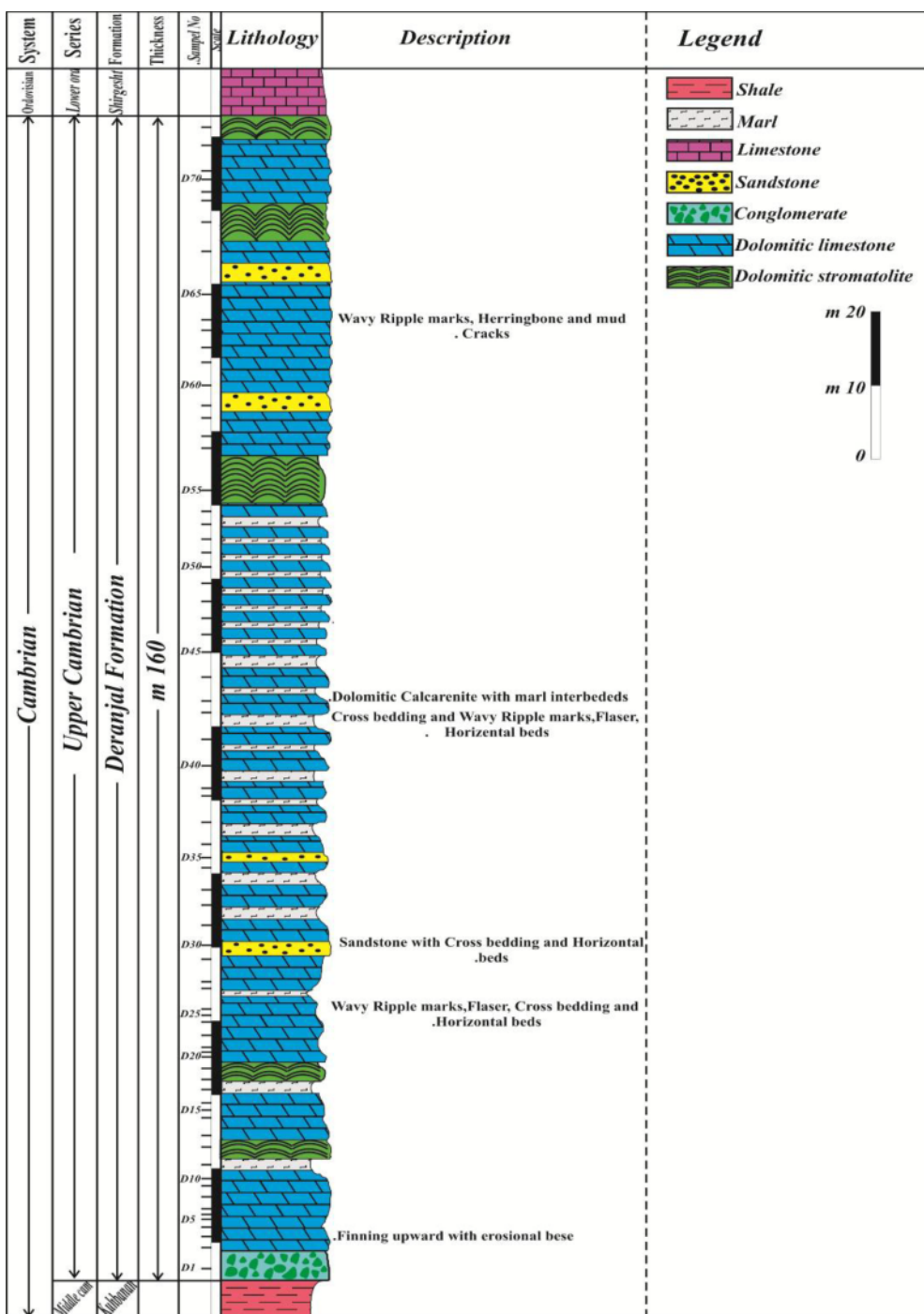
سرخ و فروسیانید پتانسیم به روش دیکسون [۵] بررسی شده اند. در بررسی‌های سنگنگاری، از روش سیبلی و گرگ [۶] برای رده‌بندی انواع دولومیت‌ها استفاده شد. بهمنظور بررسی شکل و اندازه‌ی دولومیت‌ها تعداد ۴ نمونه سنگی و ۶ مقطع نازک انتخاب، و پس از پوشش با طلا با میکروسکوپ الکترونی روبشی مدل LEO 1450 VP با قدرت تفکیک ۱۳۳ ۰۰۰۰ تا ۲۰ نانومتر و قابلیت بزرگنمایی تصاویر بین ۲۰۰۰۰ تا ۲۰ برابر در آزمایشگاه مرکزی دانشگاه فردوسی مشهد مورد بررسی قرار گرفتند و آنالیز EDS برای هر نمونه انجام شد. برای آنالیز عنصری (Mg, Ca, Fe, Mn, Sr, Na) تعداد ۱۹ نمونه از انواع دولومیت‌های برش داهوئیه انتخاب و در ۱ مول HCl به مدت ۲ ساعت حل شد و سپس به وسیله‌ی دستگاه جذب اتمی نوع Shimatzu AA-670/670G در آزمایشگاه ژئوشیمی دانشگاه فردوسی مشهد مقدار آن‌ها تعیین شد. همچنین آنالیز ایزوتوب اکسیژن و کربن این نمونه‌ها به وسیله‌ی بیناب‌سنگ جرمی مدل KPESIL در آزمایشگاه MAT253 دانشگاه کانزاس آمریکا انجام شد. به علاوه، ۱۰ نمونه‌ی دولومیتی با میکروسکوپ ۸۲۰۰KM3 و مدل Technosyncold با حداقل ولتاژ ۳۰ کیلو ولت، در شرایط خلاء ۰/۱۵ Torr)، ولتاژ ۱۲ کیلو ولت و شدت جریان ۱۶۰ تا ۱۹۵ میکروآمپر در آزمایشگاه رسوب‌شناسی گروه زمین‌شناسی دانشگاه فردوسی مشهد بررسی شدند.

بررسی‌های صحرایی

ویژگی‌های صحرایی سازند درنجال در سه برش مورد بررسی



شکل ۱ (الف) تصویر صحرایی از دنباله‌ی نهشته‌های کامبرین در شمال غرب کرمان (دید به سمت غرب). (ب) موقعیت جغرافیایی برش‌های مورد بررسی در گستره‌ی زرند. ۱: گزوئیه (53° عرض شمالی و 41° طول شرقی)؛ ۲: گتوئیه (48° عرض شمالی و 56° طول شرقی)؛ ۳: داهوئیه (42° عرض شمالی و 42° طول شرقی).



شکل ۲ ستون چینه‌ی سنگی سازند درنجال در برش داهوئیه.

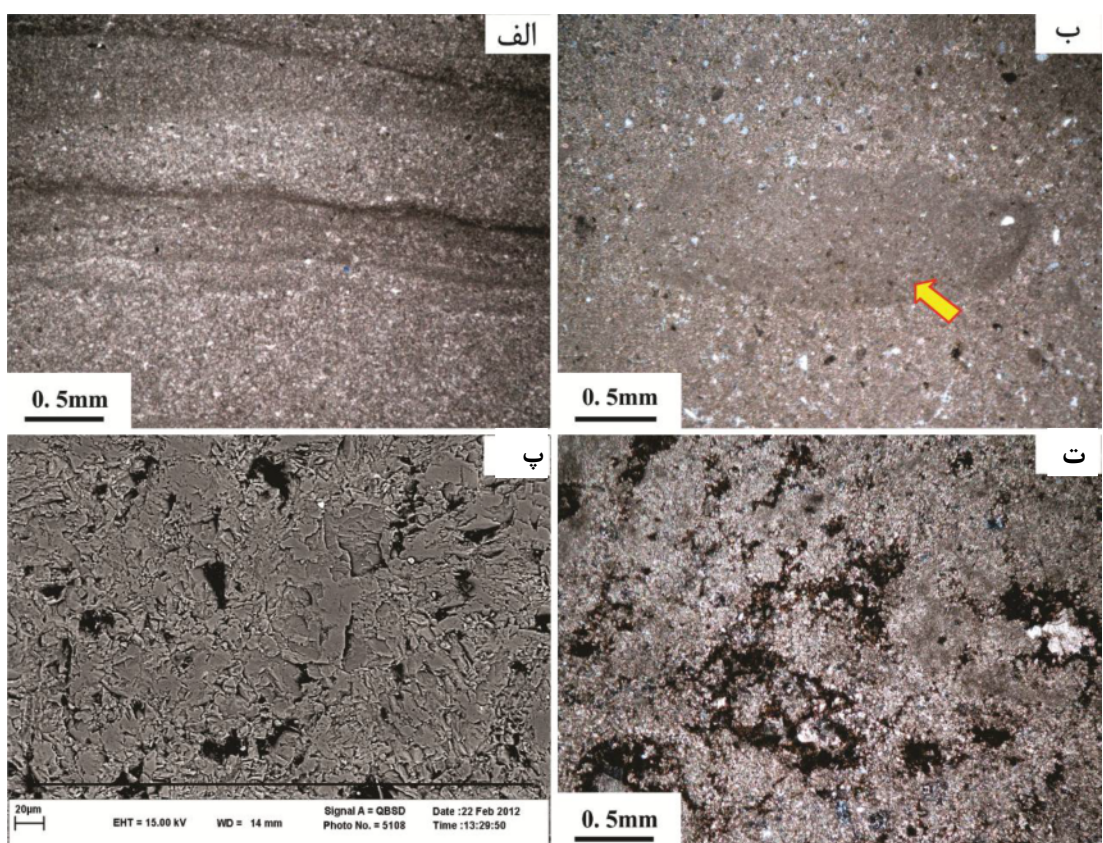
دولومیت‌های نوع ۱ (D_1): این نوع دولومیت در رخنمون به رنگ خاکستری تیره به همراه لایه و ورقه‌های موازی و مورب و در تناوب با استروماتولیت‌ها هستند. در نمونه‌های میکروسکوپی از بلورهای تقریباً هم اندازه و بی شکل تا نیمه شکل دار همراه با سطوح بلوری نامنظم تشکیل شده‌اند. این دولومیت‌ها

سنگ نگاری
دولومیت‌های سازند درنجال در منطقه‌ی مورد بررسی دارای بافت‌های متفاوتی هستند که می‌تواند بیانگر تشکیل آن‌ها در شرایط مختلف باشد [۸,۷]. این دولومیت‌ها به ۴ نوع D_1 , D_2 -S, D_2 -L و D_3 تقسیم می‌شوند.

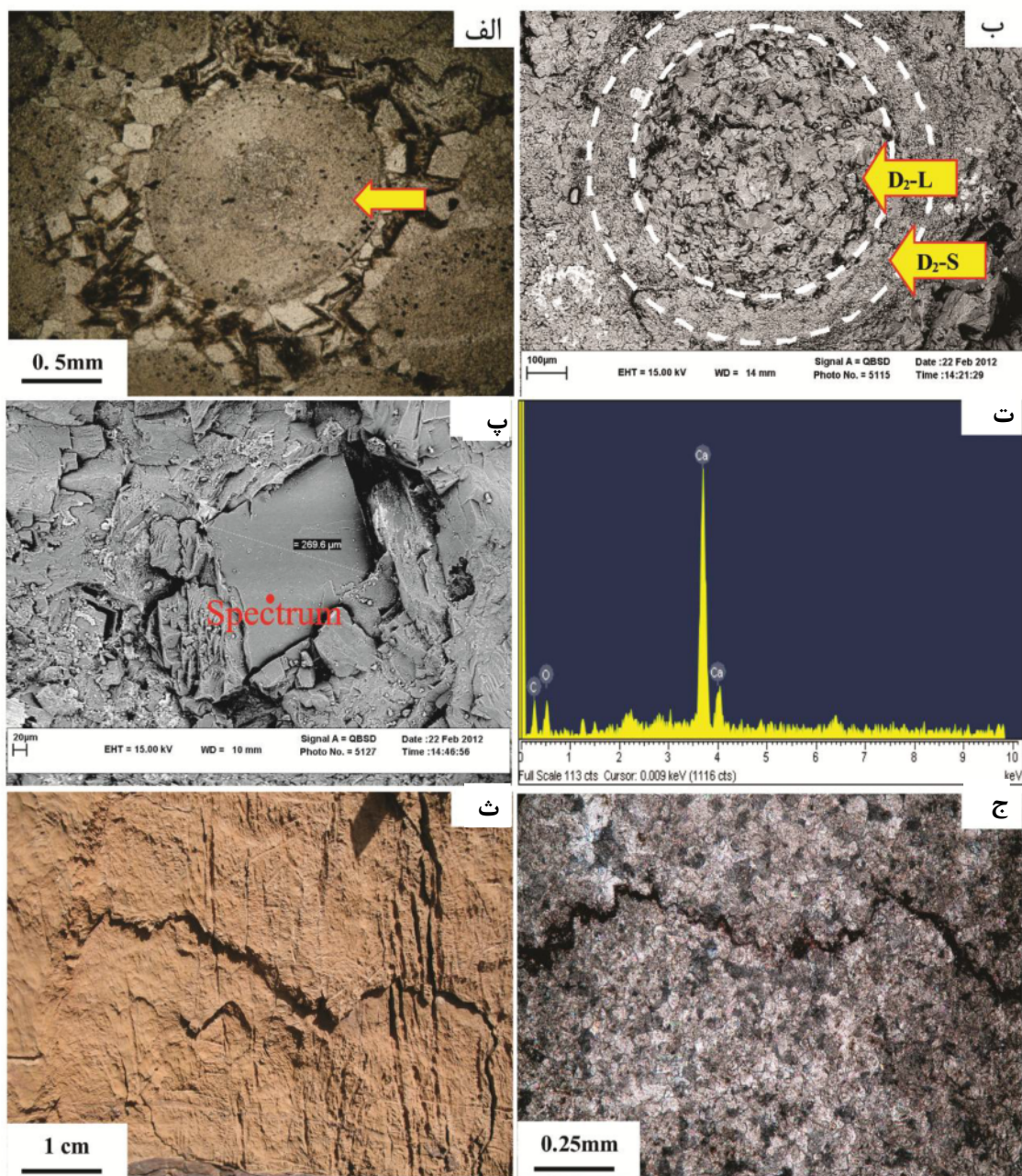
بلورهایی با اندازه‌ای بین ۵۰ تا ۳۰۰ میکرون D₂-L است. انواع ریز این دولومیت‌ها به صورت جانشینی تقلیدی در دانه‌ها (ائید) دیده می‌شوند که باعث حفظ بافت اولیه سنگ شده‌اند و بر خلاف دولومیت‌های نوع ۱ با استریوماتولیت‌ها همراه نیستند. اما انواع درشت آن‌ها اغلب به صورت جانشینی غیر تقلیدی در دانه‌های اسکلتی و غیراسکلتی دیده می‌شوند و از نظر بافتی مخرب بوده به طوری که یا ساختار و بافت رسوبی اولیه را از بین برده و یا به صورت سیمان فضای بین دانه‌ها را پر کرده‌اند (شکل ۴-الف و ب). آثار کلسیت باقی مانده حاصل از جانشینی در این دولومیت‌ها در تصاویر SEM و آنالیز EDS دیده می‌شود (شکل‌های ۴-پ و ت). در بسیاری از موارد نیز دولومیت‌ها تحت تأثیر استیلولیت‌ها قرار گرفته‌اند (شکل ۴-ث و ج). این دولومیت‌ها دارای لومینسانس سرخ تا نارنجی تیره هستند و به ندرت دارای منطقه‌بندی هستند.

متراکم، تیره رنگ، فاقد فسیل، همراه با دانه‌های کوارتز آواری و کانی‌های تبخیری و اغلب دارای اثرهایی از بافت‌های رسوبی اولیه (نظیر ورقه و اینتراکلاست) هستند (شکل ۳-الف و ب). دولومیت‌های نوع ۱ بیشتر زمینه سنگ را تشکیل می‌دهند و اندازه بلورها از ۲ تا ۲۰ میکرون (شکل ۳-پ) و از نوع زینوتاپیک-A هستند که فرآیند تبلور دوباره در آن‌ها به فراوانی دیده می‌شود (شکل ۳-ت). دولومیت‌ها بیشتر لومینسانس تیره‌ای از خود نشان می‌دهند.

دولومیت نوع ۲(D₂): این دولومیت‌ها فراوانترین نوع دولومیت در سازند در نجال‌اند. در صحراء رنگ خاکستری روشن و در نمونه‌های میکروسکوپی از نوع ایدیوتاپیک-E هستند و از بلورهای شکل‌دار، در اندازه‌های ریز تا درشت و متراکم با مرزهای بلوری مسطح تشکیل شده‌اند. بر اساس اندازه، این دولومیت‌ها را می‌توان به دو دسته تقسیم کرد. گروه اول شامل بلورهای با اندازه‌ی ۲ تا ۵۰ میکرون D₂-S و گروه دوم شامل



شکل ۳ تصاویر میکروسکوپی دولومیت‌های نوع ۱. الف) آثاری از بافت‌های ظرفی استریوماتولیتی باقیمانده در دولومیت‌های D1 (XPL). ب) دولومیت‌های D1 همراه با دانه‌های کوارتز آواری و اینتراکلاست (XPL). پ) تصویر SEM بلورهای دولومیت D1 حاوی تخلخل بین بلوری. ت) فرآیند تبلور مجدد در دولومیت‌های درشت‌تر بلورهای ریز بلور اولیه که سبب تشکیل بلورهای اولیه محسوب می‌شود. ایزوتوپ اکسیژن ۱۸ در دولومیت‌های اولیه محسوب می‌شود.



شکل ۴ تصاویر میکروسکوپی دلومیت‌های نوع ۲. (الف) دلومیت‌های ریز بلور -S D2 پوشش ائید را دربرگرفته و باعث حفظ فابریک اولیه ائید شده است و دلومیت‌های درشت بلور -L D2 دلومیت‌های ریز بلور -S اپر کرده‌اند (PPL). (ب) تصویر SEM بین دانه‌ها را پر کرده‌اند. دلومیت‌های ریز بلور -S در لایه‌های خارجی ائید و دلومیت‌های یکنواخت درشت بلور -L D2 در بخش مرکزی ائید مشاهده می‌شوند. (پ) تصویر SEM از بقایای کلسیت در دلومیت‌های درشت بلور -L D2 . (ت) آنالیز EDS تصویر C که موید وجود کلسیت در داخل بلور دلومیت است. (ث) تصویر صحرایی استیلویلت در دلومیت‌های درشت بلور -L D2 . (ج) قطع شدن دلومیت‌های درشت بلور -L D2 توسط استیلویلت که نشان‌دهنده تشکیل آنها در عمق کمتر و قبل از تدفین خیلی زیاد است (XPL).

شکستگی‌ها را پر کردند (شکل ۵-الف و ب). اندازه‌ی بلورها از دیواره به مرکز حفره‌ها و شکستگی‌ها افزایش می‌یابند و بافت دروزی را نشان می‌دهند. همچنین از دیواره به مرکز رگه، بلورها از حالت خودشکل به سمت نیمه شکل‌دار و بی‌شکل

دلومیت نوع ۳ (D₃): این دلومیت‌ها در صحراء نسبت به دلومیت‌های دیگر روشن ترند و در نمونه‌ی میکروسکوپی شامل بلورهای نیمه شکل‌دار تا شکل‌دار به اندازه ۱۰۰ تا بیش از ۵۰۰ میکرون به فرم سیمان داخل فضاهای کوچک، بزرگ و

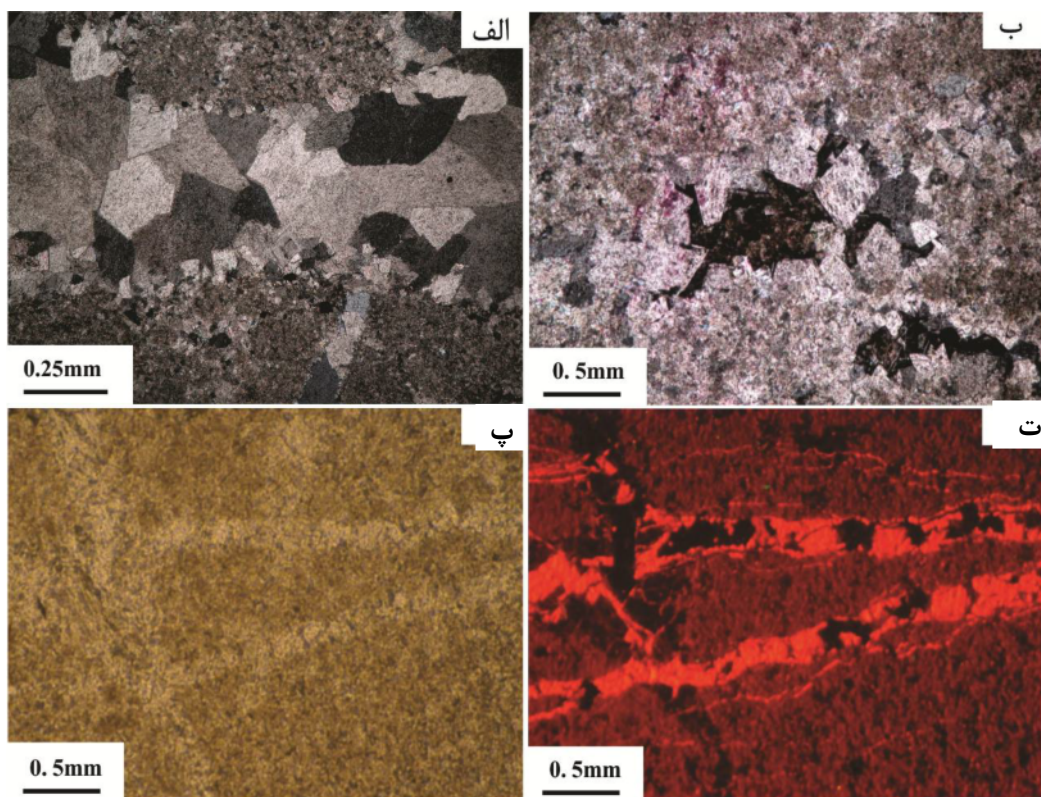
در تغییر است. میانگین استرانسیوم در دولومیت‌های D₂-S، D₁، D₂-L، D₃ به ترتیب ۱۳۸، ۲۱۰، ۱۹۱ و ۱۰۵ ppm است. مقدار سدیم در این دولومیت‌ها بین ۳۹۰ تا ۱۰۰۰ ppm در D₂-S، D₂-L، D₁، D₃ به ترتیب ۴۵۷، ۵۷۴، ۶۴۰ و ۶۳۶ ppm است.

میانگین مقادیر آهن و منگنز در دولومیت‌های سازند درنجال به ترتیب ۱۷۹۴۷ ppm و ۹۷۳ ppm است. میانگین مقدار آهن در دولومیت‌های نوع ۱ (D₁) ۱۷۰۰ ppm و میزان منگنز ۸۲۲ ppm است. میانگینی میزان آهن دولومیت‌های نوع ۲ ریزبلور (D₂(S)) ۱۷۲۰ ppm و میزان منگنز در این نوع دولومیت ۹۲۷ ppm است همچنین میزان آهن به طور میانگین در دولومیت‌های نوع ۲ درشت بلور (D₂(L)) ۱۸۴۰۰ ppm و میزان منگنز در این نوع دولومیت ۹۸۶ ppm است. میزان آهن در دولومیت‌های نوع ۳ (D₃) ۱۹۵۰۰ ppm و منگنز ۱۱۵۴ ppm است.

تغییر می‌کند. برخی از بلورهای دولومیت دارای لومینسانس نارنجی روشن و برخی دیگر لومینسانس تیره نشان می‌دهند (شکل ۵-پ و ت).

ژئوشیمی آنالیز عنصری

ترکیب عناصر اصلی و فرعی در دولومیت‌ها به مقدار قابل توجهی به دلیل ترکیب متفاوت سیالات دولومیت ساز (شیرین، لب شور، دریایی و فوق العاده شور) تغییر می‌کند [۹]. نتایج آنالیز عنصری دولومیت‌های سازند درنجال در جدول شماره ۱ ارائه شده‌اند. میزان کلسیم در دولومیت‌های سازند درنجال از ۱۶۶ تا ۲۰۸ درصد (میانگین ۱۹۷۴ درصد) و میزان میزیم از ۱۰۱ تا ۱۳۴ درصد (میانگین ۱۱۹۴ درصد) در تغییر است به طوری که دولومیت‌های نوع اول بیشترین و دولومیت‌های نوع سوم کمترین مقدار را دارند. مقدار استرانسیم در این دولومیت‌ها بین ۳۳۰ تا ۶۲ ppm



شکل ۵ تصاویر میکروسکوپی دولومیت نوع ۳. (الف) دولومیت‌های درشت بلور و یکنواخت D₃ پر کننده رگه‌های اتحالی. از دیواره به سمت مرکز بلورها از حالت خودشکل به نیمه شکل دار و بی شکل تغییر می‌کند (XPL). (ب) بلورهای درشت D₃ شکل دار تا نیمه شکل دار پر کننده حفرات (XPL). (پ) دولومیت‌های درشت بلور نیمه شکل دار پر کننده رگه (PPL). (ت) تصویر CL در لومینسانس‌های درخششی دهنده و مات، نشان دهنده تغییر شرایط شیمیابی در زمان تبلور دولومیت است.

جدول ۱ نتایج آنالیز عنصری و ایزوتوپی دولومیت‌های سازند درنجال.

نمونه	کد	Ca %	Mg %	Sr (ppm)	Na (ppm)	Mn (ppm)	Fe (ppm)	^{18}O (PDB)	^{13}C (PDB)	IR
B ₂	D ₂ (L)	۱۹,۴	۱۱,۶	۱۲۱,۵	۵۰۶,۴	۷۵۱,۴	۱۸۰۰	-۸,۲	-۱,۵	% ۱,۹
B ₃	D ₂ (L)	۱۹,۳	۱۱,۷	۱۲۲,۲	۵۲۹,۶	۱۵۰۰	۱۶۰۰	-۹,۰۹	-۱,۵	% ۱,۱
B ₄	D ₁	۲۰,۷	۱۲,۳	۲۰۱,۶	۵۶۹,۶	۶۹۲,۶	۱۸۰۰	-۷,۷۶	-۱,۸	% ۱,۶
B ₉	D ₁	۱۹,۸	۱۲,۵	۱۳۸,۳	۹۶۸,۲	۸۵۵,۹	۱۸۰۰	-۹,۱۵	-۰,۹۶	% ۰,۸
B ₁₀	D ₂ (L)	۱۹,۷	۱۱,۸	۱۴۱,۶	۶۴۷	۶۷۸,۳	۱۵۰۰	-۹,۵۸	-۱,۴۵	% ۹,۳
B ₁₃	D ₃	۱۶,۶	۱۰,۱	۷۵	۵۷۹,۷	۱۰۰۰	۱۹۰۰	-۹,۷۲	-۱,۴۲	% ۸,۳
B ₁₆	D ₂ (L)	۲۰,۷	۱۱,۷	۱۳۲,۳	۶۲۶,۱	۱۰۰۰	۲۰۰۰	-۹,۳۹	-۰,۴۲	% ۲,۱
B ₂₀	D ₂ (S)	۱۹,۱	۱۲	۱۵۷,۴	۵۷۴,۷	۱۰۰۰	۲۰۰۰	-۹,۵۲	-۰,۵۸	% ۴,۶
B ₃₂	D ₁	۲۰,۴	۱۲,۵	۱۷۹,۶	۴۴۴,۱	۱۰۰۰	۱۹۰۰	-۹,۰۹	-۰,۷۹	% ۱,۶
B ₃₈	D ₂ (L)	۲۰	۱۱,۱	۱۶۴,۷	۵۶۲,۹	۱۰۰۰	۲۳۰۰	-۹,۳۹	-۱,۳۷	% ۵,۱
B ₄₃	D ₁	۲۰,۸	۱۳,۴	۳۳۰	۴۶۸,۹	۹۵۹,۲	۲۰۰۰	-۸,۶۴	-۱,۶۱	% ۳,۵
B ₄₄	D ₂ (S)	۱۹,۶	۱۲,۳	۲۲۲,۹	۵۷۹,۲	۱۰۰۰	۱۹۰۰	-۸,۹۹	-۱,۴۲	% ۷,۲
B ₅₆	D ₂ (S)	۲۰,۸	۱۲,۶	۲۲۶,۳	۴۲۷,۴	۶۶۱,۳	۱۰۰۰	-۹,۵۲	-۱,۴۷	% ۰,۷
B ₅₈	D ₁	۲۰,۶	۱۲,۷	۲۰۴,۷	۷۳۴,۷	۶۰۶,۷	۱۰۰۰	-۷,۳۱	-۰,۶۴	% ۳,۸
B ₆₁	D ₃	۱۸,۶	۱۱,۵	۶۲	۳۹۰,۱	۹۶۳,۹	۱۹۰۰	-۱۱,۵۲	-۰,۶۹	% ۱,۴
B ₆₂	D ₂ (S)	۲۰,۵	۱۲,۱	۱۷۱,۸	۶۱۹,۶	۹۷۶,۵	۱۶۰۰	-۷,۷۹	-۰,۷۳	% ۱,۸
B ₆₄	D ₃	۱۹,۷	۱۱,۸	۱۸۵,۹	۴۵۴	۸۵۲,۹	۲۹۰۰	-۸,۵۳	-۰,۶۷	% ۴,۳
B ₆₈	D ₃	۱۹	۱۱,۱	۱۰۰	۴۰۶	۲۰۰۰	۱۱۰۰	-۱۱,۹۹	-۱,۱۷	% ۲,۸
B ₇₂	D ₂ (S)	۱۹,۷	۱۲,۲	۱۸۰,۷	۱۰۰۰	۱۰۰۰	۲۱۰۰	-۱۰,۰۴	-۰,۵۲	% ۱,۹

است. ایزوتوپ کربن در دولومیت نوع ۲ درشت بلور بین -۰,۴۲ تا -۱,۵۲ PDB% (میانگین ۱۲۵) در نوسان است. سیمان دولومیتی حفره پر کن (دولومیت نوع سوم D₃) دارای دامنه تغییرات ایزوتوپی زیادی بوده و مقدار ایزوتوپ اکسیژن ۱۸ بین -۸,۵۳ تا -۱۱,۹۹ PDB% (میانگین ۱۰,۴۹) در نوسان است. ایزوتوپ کربن در دولومیت نوع سوم بین -۰,۶۷ تا -۱,۴۲ PDB% (میانگین -۰,۹۹) در نوسان است.

بحث و بررسی

باتوجه به تلفیق داده‌های سنگ‌نگاری و ژئوشیمی در اینجا می- خواهیم شرایط تشکیل انواع دولومیت‌ها را مورد بررسی قرار دهیم.

دولومیت نوع D₁: با توجه به بافت و اندازه‌ی ریز بلورها، وجود ذرات پراکنده کوارتز و کانی‌های تبخیری، بافت چشم پرنده‌ای،

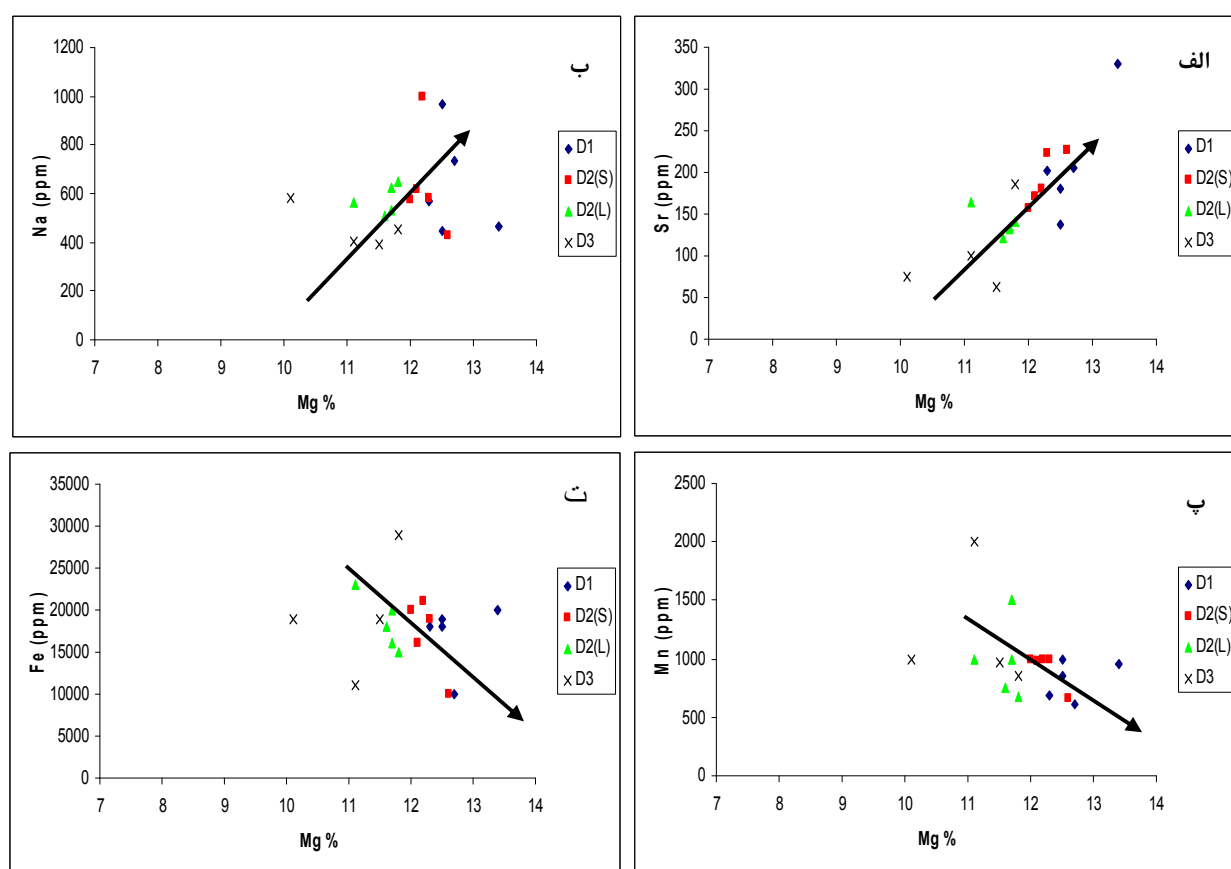
آنالیز ایزوتوپی

دامنه‌ی تغییرات مقادیر ایزوتوپ اکسیژن ۱۸ در دولومیت‌های سازند درنجال بین -۷,۳۱ تا -۱۱,۹۹ PDB% است که نوع سوم دارای سبکترین مقدار است. ایزوتوپ کربن در تمام دولومیت‌ها منفی و دامنه‌ی تغییرات پایینی نسبت به اکسیژن نشان می‌دهد. مقادیر آن بین -۱۸۰ تا -۰,۴۲ در نوسان است (جدول ۱).

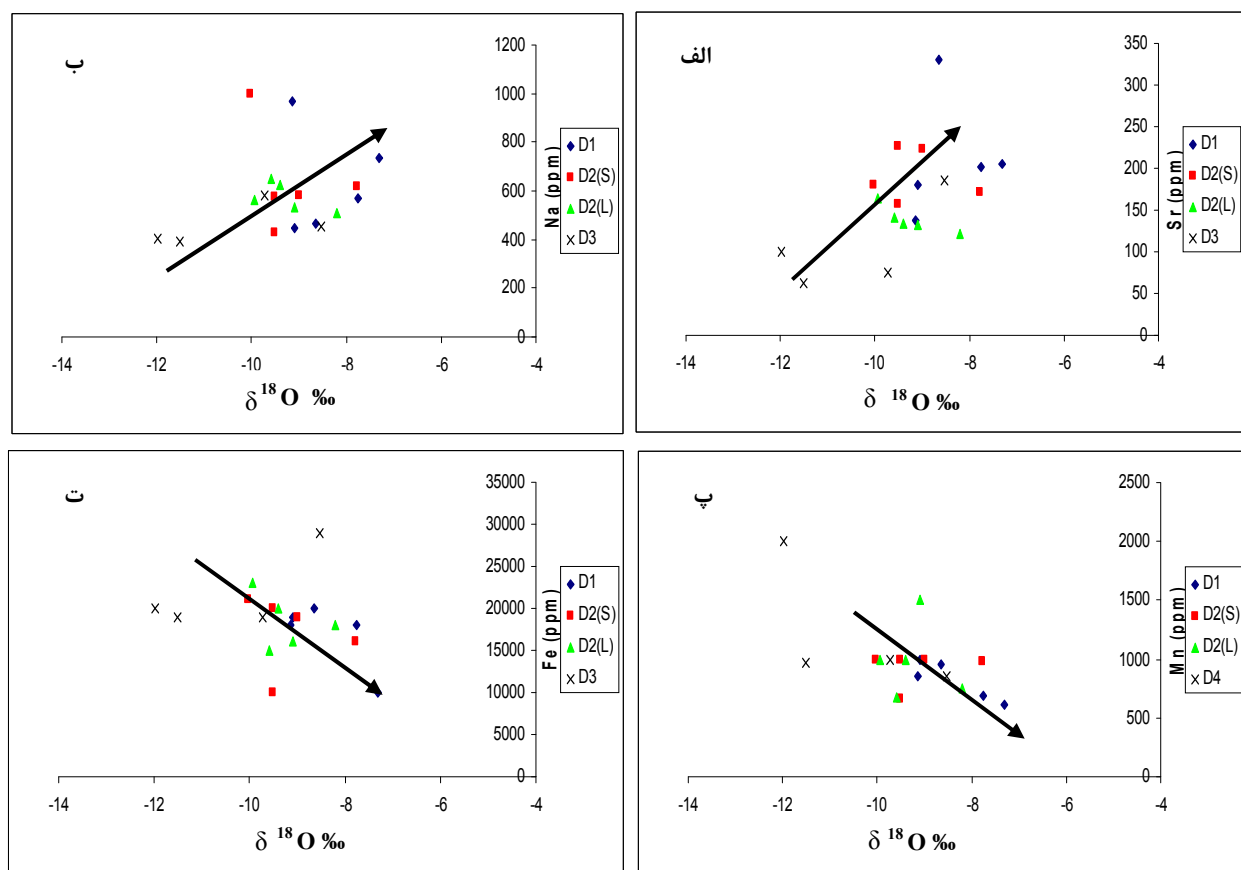
ایزوتوپ اکسیژن در دولومیت‌های نوع ۱ (D₁) بین -۷,۷۶ تا -۹,۱۵ PDB% و ایزوتوپ کربن بین -۰,۶۴ تا -۱,۸۰ D₂-PDB% در نوسان است. در دولومیت‌های نوع ۲ ریز بلور (D₂-S) تغییرات اکسیژن بین -۷,۷۹ تا -۱۰,۰۴ PDB% و تغییرات ایزوتوپ کربن بین -۰,۵۲ تا -۱,۴۷ PDB% در نوسان است. ایزوتوپ اکسیژن در دولومیت‌های نوع ۲ درشت بلور (D₂-L) دارای دامنه‌ی تغییراتی بین -۸,۲۱ تا -۹,۹۳

دولومیت‌های ریز بلور اولیه‌ای که از نظر ایزوتوب اکسیژن ۱۸ سنگین‌تر هستند بالاتر از دولومیت‌های نوع ۲ و ۳ است (شکل ۷-الف و ب)، زیرا دولومیت‌های نوع ۱ در سازند درنجال کمتر تحت تاثیر فرآیندهای درونزادی قرار گرفته‌اند و این روندها نشان دهنده افزایش تاثیر این فرآیندها از دولومیت‌های نوع ۱ به نوع ۳ است. کاهش مقادیر ایزوتوب اکسیژن ۱۸ از دولومیت‌های ریز بلور به سمت دولومیت‌های درشت بلور احتمالاً در نتیجه افزایش دمای سیالات دولومیتساز بوده که می‌تواند ناشی از افزایش عمق تدفین باشد. مقدار Fe و Mn در دولومیت‌های اولیه نزدیک به سطح به دلیل شرایط اکسایشی، پایین [۱۳] و فاقد لومینسانس هستند. دولومیت نوع اول از نظر شواهد سنگنگاری و مقایسه‌ی سرنشی‌های شیمیایی آن با سایر دولومیت‌های دیگر به عنوان اولین دولومیت تشکیل شده در سازند درنجال است.

حفظ حالت برگهای و عدم وجود فسیل، این دولومیت‌ها همزممان با رسوب‌گذاری و یا در مراحل اولیه درونزادی در یک محیط ابرکشندی تا درون کشندی بالایی تشکیل شده‌اند [۱۰، ۱۱]. بالا بودن میزان استرانسیوم و سدیم و پایین بودن میزان منگنز و آهن، نیز سنگین بودن میزان ایزوتوب اکسیژن ۱۸ نسبت به دولومیت‌های درشت بلور موید تشکیل در شرایط اولیه درونزادی است. البته میزان ایزوتوب اکسیژن ۱۸ دولومیت‌های نوع ۱ در جایگاه یک دولومیت اولیه‌ی سبک شدگی زیبادی را نشان می‌دهد که این سبک‌شدنگی می‌تواند در نتیجه تاثیر فرایندهای درونزادی و تبلور دوباره دولومیت‌های اولیه رخ داده باشد [۱۲]. ترسیم نمودارهای پراکندگی Sr و Mg نسبت به Na نشان می‌دهد که با کاهش Mg از Na دولومیت‌های نوع ۱ به ۲ و ۳ میزان Sr و Na نیز کاهش می‌یابد (شکل ۶-الف و ب) همچنین مقادیر این عناصر در



شکل ۶ روند تغییرات عناصر Na، Sr، Fe و Mn در مقابل Mg در انواع مختلف دولومیت‌های سازند درنجال.



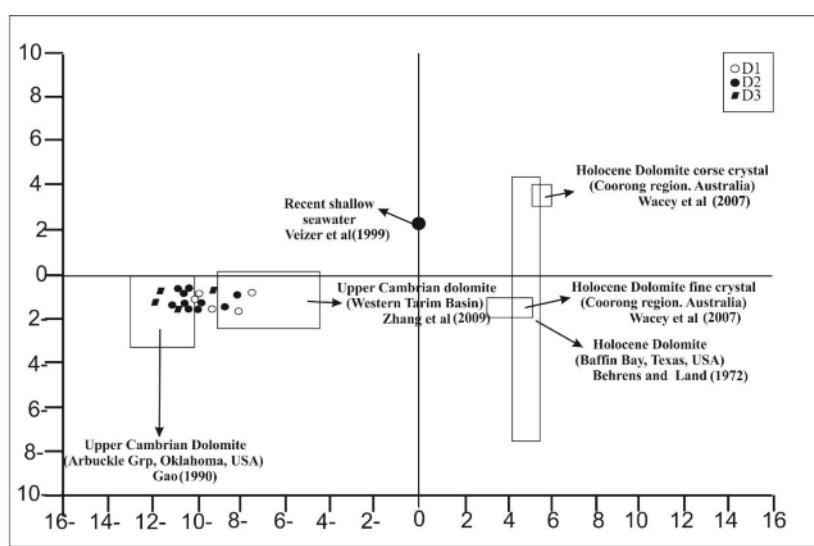
شکل ۷ روند تغییرات عناصر Sr, Na, Mn و Fe در مقابل $\delta^{18}\text{O}$ در انواع مختلف دلومیت‌های سازند درنجال.

سدیم و عدم وجود تبخیری‌ها در دلومیت‌های جانشینی، علاوه بر پایین بودن ضریب توزیع این عناصر، مؤید عدم تشکیل این دلومیت‌ها بر اثر ساز و کار تبخیر شدید آب دریاست [۱۸]. میزان آهن و منگنز این دلومیت‌ها نسبت به دلومیت‌های تشکیل شده از آب دریای معمولی بالاتر است که می‌تواند در ارتباط با شرایط احیایی در محیط تدفینی و تحت تأثیر سیالاتی با میزان بالاتر آهن و منگنز نسبت به آب دریای معمولی باشد [۱۹، ۲۰، ۲۱] تغییرات ایزوتوبی نیز مoid سبک‌تر شدن ایزوتوب اکسیژن ۱۸ نسبت به دلومیت‌های نوع اول به دلیل جدایش ایزوتوبی بیشتر و افزایش دما در اثر افزایش عمق تدفین است [۲۲]. در این دلومیت‌ها به ندرت لومینسانس سرخ قهقهه‌ای تا نارنجی تیره مشاهده می‌شود که می‌تواند به دلیل افزایش میزان آهن تحت شرایط احیایی بسیار بالا باشد. بنابراین وجود بلور دوباره طی تدفین در این نوع دلومیت را می‌توان با افزایش در اندازه‌ی بلورها، سبک شدن میزان ایزوتوب اکسیژن، کاهش در میزان Sr و Na و افزایش در میزان منگنز نشان داد.

دلومیت نوع D₂: دلومیت‌های ریز بلور D₂(S) به دلیل اندازه کوچک و مز بین بلوری مسطح در اعماق کم و نزدیک به سطح و شرایط دمایی پایین تشکیل شده‌اند، هر چند گاهی در دماهای بالاتر نیز می‌توانند تشکیل شوند [۶، ۱۴]. قطع شدن این دلومیت‌ها توسط استیلولیت نشان دهنده‌ی تشکیل آنها پیش از تدفین خیلی زیاد و در اعماق کمتر است. اما برخی از شواهد سنگنگاری نظیر افزایش اندازه‌ی بلورها، منطقه‌بندی بلورها و مزهای صفحه‌ای بین بلورهای درشت D₂-L، همچنین بررسی تصاویر SEM و آنالیز EDS آنها نشان دهنده‌ی وجود خرده‌های کلسیت اولیه در داخل آنها و جانشین بودن این نوع دلومیت است. ویژگی‌های بافتی و اندازه‌ی بلورها نشان می‌دهد که، احتمالاً این دلومیت‌ها در مرحله‌ی تدفین کم عمق تا متوسط در دماهای پایین یا درجه‌ی اشباع شدگی پایین و در زمان طولانی [۶، ۱۵] در اثر جانشینی (تقلیدی و غیر تقلیدی) تشکیل شده‌اند [۷، ۱۶]. در این دلومیت‌ها میزان استرانسیوم و سدیم با افزایش اندازه‌ی بلورها کاهش می‌یابد که نشان دهنده‌ی پایداری بیشتر در اثر دلومیتی شدن است [۱۷]. تمرکز نسبتاً پایین استرانسیم و

ساز نسبت داد. ترسیم نمودارهای پراکندگی Mn و Fe نسبت به Mg و O^{18} نشان می‌دهد که با کاهش Mg و سبک شدن O^{18} از دولومیت‌های نوع ۱ به ۲ و ۳، میزان Mn و Fe افزایش می‌یابد (شکل‌های ۶ و ۷-ج و ۵). این را می‌توان به شرایط احیایی حاکم بر محیط و دگرسانی تحت شرایط دمای بالا طی فرآیند درونزادی تاخیری نسبت داد [۲۸]. بنابراین افزایش اثر درونزادی تدفینی را در این نوع دولومیت را می‌توان با افزایش در اندازه بلورها، سبک شدن میزان ایزوتوپ اکسیژن، کاهش در میزان Sr و افزایش در میزان منگنز و آهن نشان داد. دامنه کم تغییرات ایزوتوپ کربن در انواع مختلف دولومیت حاکی از این است که تاثیر آبهای متاثوریکی در تشکیل آنها ناچیز بوده و بنابراین مدل مخلوط متاثوریک دریایی برای دولومیت‌های سازند درنجال بعید به نظر می‌رسد [۲۹-۳۱]. بررسی تغییرات ایزوتوپ اکسیژن و کربن دولومیت‌های سازند درنجال و مقایسه آنها با گستره تغییرات ایزوتوپی دولومیت‌های کامبرین پسین در دیگر نقاط دنیا نشان دهنده‌ی همپوششی گسترده‌ی این دولومیت‌ها با یکدیگر است به گونه‌ای که دولومیت‌های بیشتر نواحی بررسی شده به سن کامبرین پسین دارای ایزوتوپ اکسیژن و کربن منفی هستند (شکل ۸). همچنین مقایسه‌ی تغییرات ایزوتوپی دولومیت‌های سازند درنجال با دولومیت‌های زمان ما نشان از سبکتر بودن دولومیت‌های کامبرین پسین نسبت به دولومیت‌های زمان ما است که این به علت تاثیر درونزادی تدفینی است (شکل ۸).

دولومیت نوع D_3 : با توجه به اندازه‌ی درشت بلورها و بافت ایدیوتاپیک-S-تا ایدیوتاپیک-E و مرزهای بلورین نیمه مسطح تا مسطح می‌توان دولومیت‌های رگه‌ای را آخرین نسل تشکیل دولومیت‌ها دانست به طوری که هیچ نوع جانشینی دوباره در آن‌ها دیده نمی‌شود [۱۱]. بلورهای شفاف که در بسیاری از دولومیت‌ها مشاهده می‌شوند می‌توانند در دماهای بالا [۲۳، ۲۴]، یا حاصل سیمان رو رشدی هنگام تدفین اولیه باشد [۲۵]. این دولومیت‌ها دارای کمترین میزان استرانسیوم و سدیم و بیشترین مقدار منگنز و آهن نسبت به دولومیت‌های نوع D_1 و D_2 هستند که تشکیل در شرایط احیایی‌تر از سیالات غنی از Mn را نشان می‌دهد. لومینسانس نارنجی روشن موید این شرایط است. وجود منطقه‌بندی در لومینسانس بلورهای دولومیت نشان‌دهنده‌ی تغییر شرایط تشکیل و ترکیب سیالات دولومیت‌ساز است [۲۶]. منطقه‌های مات می‌تواند به دلیل بالا بودن شرایط احیایی و ورود یون آهن به داخل بلورهای دولومیت باشد در صورتی که منطقه‌های روشن مربوط به شرایط احیایی بیشتر و در زمانی که تنها یون منگنز قادر به ورود به سیستم بلوری بوده است. کاهش مقدار منیزیم در دولومیت‌های نوع ۳ نسبت به سایر دولومیت‌ها به دلیل کاهش هسته‌زایی و درشت شدن بلورهای دولومیت طی فرآیند تدفین و افزایش عمق است [۲۷]. میانگین سدیم در دولومیت‌های نوع ۳ به مراتب کمتر از سایر دولومیت‌های است. دلیل کاهش این عنصر را می‌توان به پایین بودن میزان شوری سیالات دولومیت



شکل ۸ نمودار تغییرات O^{18} - δ در دولومیت‌های سازند درنجال و مقایسه آنها با دولومیت‌های کامبرین بالایی آمریکا [۱۲]، چین [۳۲] و دولومیت‌های عهد حاضر [۳۳-۳۵]. گستره تغییرات ایزوتوپی سازند درنجال با گستره تغییرات ایزوتوپی دولومیت‌های کامبرین پسین در دیگر نقاط دنیا همپوششی دارد.

های استروماتولیتی، ماسه سنگ و میان لایه‌های مارنی تشکیل شده‌اند که حفظ ساخت‌های رسوبی در آن‌ها، از قبیل ساخت‌های استرماتولیتی، نشان دهنده‌ی تاثیر فرایند دولومیتی شدن تقلیدی در آن‌هاست. بررسی‌های سنگنگاری و ژئوشیمیایی این سنگ‌ها سبب تفکیک چهار نوع دولومیت شده است. دولومیت نوع ۱ (D₁) از نوع ریز بلور و فاقد شکل بوده به عنوان دولومیت همزمان با رسوبگذاری در محیط کشندي بر جای (D₂) گذاشته شده است. دولومیت‌های ثانویه از نوع جانشینی - (D₃) L, D₂-S و پرکننده‌ی حفره‌های و شکستگی‌ها (D₄) هستند که در طی دفن متوسط نهشته‌ها تشکیل شده‌اند. بررسی‌های ژئوشیمیایی نشان دهنده‌ی کاهش مقادیر Sr و Na از دولومیت‌های ریز بلور به سمت دولومیت‌های درشت بلور و افزایش مقادیر Fe و Mn است همچنین مقادیر ایزوتوب اکسیژن ۱۸ نیز از دولومیت‌های ریز بلور به سمت دولومیت‌های درشت بلور با افزایش عمق تدفین کاهش می‌یابد. بر اساس داده‌های ایزوتوبی اکسیژن، دمای تشکیل دولومیت‌های اولیه ۴۴ درجه‌ی سانتیگراد محاسبه شده است. محتمل‌ترین خاستگاه منیزیم برای دولومیت‌های نوع ۱ آب دریا، و برای دولومیت‌های تدفینی، فراوانی میان لایه‌های مارنی، تراکم شیل‌های تحتانی و تغییر کانی‌های رسی است.

قدردانی

این پژوهش بر گرفته از پایان نامه‌ی کارشناسی ارشد هدا باوی است که بدین وسیله از معاونت محترم پژوهشی بخاطر تامین هزینه‌ها تشکر می‌شود. همچنین از کمک‌های بی دریغ جناب آقای دکتر حامد زند مقدم در بررسی‌های صحرایی، نظرات ارزشمند جناب آقایان دکتر محمد خانه باد و دکتر علی آقائی و نیز آنالیز نمونه‌ها در دانشگاه کانزاس آمریکا توسط دکتر اکبر حیدری سپاسگزاری می‌شود.

مراجع

- [1] Chilingar G.V., "Relationship Between Ca/Mg Ratio and Geological Age", American Association Petroleum Geology Bulletin 40 (1956) 2256-2266.

مدل‌های دولومیتی‌شدن و خاستگاه منیزیم

در سازند درنجال انواع مختلف دولومیت در زمان‌ها و محیط‌های درونزادی مختلف تشکیل شده‌اند. مدل آب دریا یکی از محتمل‌ترین مدل برای تشکیل دولومیت در تختکاه‌های کربناتی است [۳۶، ۳۷]. با توجه به اینکه در برش‌های مورد بررسی سازند درنجال دولومیکرایت به وفور دیده می‌شود و توجه به این مسئله که دولومیت نوع اول در شرایط سطحی، دمای پایین و محیط‌های ابر کشندي تا درون کشندي تشکیل می‌شود، احتمالاً آب دریا عامل دولومیتی‌شدن و تنها خاستگاه تامین منیزیم برای این نوع دولومیت در سازند درنجال بوده است [۳۸، ۳۹].

با توجه به شواهد سنگنگاری، کاتدولومینسانس و نیز نتایج آنالیز‌عنصری و ایزوتوبی و عدم وجود کانی‌های تبخیری به همراه دولومیت‌های نوع دوم و سوم، محتمل‌ترین مدل برای تشکیل این دولومیت‌ها نوع تدفینی است. به نظر می‌رسد که دولومیت‌های متوسط تا درشت بلور نوع دوم در اثر تبلور مجدد دولومیت‌های قبلي و جانشینی سنگ آهک تشکیل شده‌اند. از آخرین فرآیندهای تشکیل دولومیت در سازند درنجال، تشکیل سیمان دولومیتی حفره پرکن و رگه‌ای هنگام تدفین است. تامین منیزیم در مدل تدفینی برای تشکیل دولومیت‌های درشت بلور می‌تواند از منابع دیگر از جمله آبهای محبوس بین دانه‌ای [۲۷، ۲۷]، انحلال فشاری (استیلویتی‌شدن)، شورابه‌های حوضه‌ای [۴۰، ۴۱] و تراکم شیل‌های پایینی [۴۲، ۴۳] تامین شود. گرچه دقیقاً نمی‌توان خاستگاه اصلی تامین منیزیم را مشخص کرد اما به نظر می‌رسد که فراوانی میان لایه‌های مارنی بین دنباله‌های سازند درنجال، تراکم شیل‌های تحتانی و تغییر کانی‌های رسی محتمل‌ترین منبع تامین منیزیم باشد.

برداشت

نهشته‌های کربناتی سازند درنجال به سن کامبرین پسین در شرق و جنوب شرق زرند از سنگ‌های دولومیتی، بانداستون-

- stratal, late Cambrian (Royer) dolomite, Lower Arbuckle Group, Slick Hills, SW Oklahoma, USA”, Geochimica et Cosmochimica Acta 54 (1990) 1979–1989.*
- [13] Tucker M.E., Wright V.P., “*Carbonate Sedimentology*”, Blackwell, Oxford (1991) 482.
- [14] Gregg J.M., Shelton K.L., “*Dolomitization and neomorphism in the back reef facies of the Bonneterre and Davies Formations (Cambrian), southeastern Missouri*”, Journal of Sedimentary Petrology 60 (1990) 549–562.
- [15] Arvidson R.S., Mackenzie F.T., “*The dolomite problem: control of precipitation kinetics by temperature and saturation state*”, American Journal of Science 299 (1999) 257–288.
- [16] Whittaker S., Rostron B.J., Khan D., Hajnal Z., Qing H., Penner L., Maathuis H., Goussev S., “*Theme 1: Geological characterization*”, in Wilson M., Monea M., (eds.), IEA GHG Weyburn CO₂ Monitoring and Storage Project Summary Report 2000-2004; Seventh International Conference on Greenhouse Gas Control Technologies, Petroleum Technology Research Centre3 (2004) 15-69.
- [17] Yuia T.F., Gong S.H., “*Stoichiometry effect on stable isotope analysis of dolomite*”, Chemical Geology 201 (2003) 359–368.
- [18] Touir J., Soussi M., Troudi, “*Polyphased dolomitization of a shoal-rimmed carbonate platform: example from the Middle Turonian Bireno dolomites of central Tunisia*”, Cretaceous Research 30 (2009) 785–804.
- [19] Barnaby R.J., Read J.F., “*Dolomitization of a carbonate platform during late burial: Lower to Middle Cambrian Shady dolomite, Virginia Appalachians*”, Journal of Sedimentary Petrology 62 (1992) 1023- 1043.
- [20] Budd D. A., “*Cenozoic dolomites of carbonate islands: their attributes and origin*”, Earth Science Review 42 (1997) 1–47.
- [21] Gasparrini M., Bechstadt T., Boni M., “*Massive hydrothermal dolomites in the Southwestern Cantabrian Zone (Spain) and their*
- [2] Given R.K., Wilkinson B.H., “*Dolomite abundance and stratigraphic age: constraints on rates and mechanisms of phanerozoic dolostone formation*”, Journal of Sedimentary Petrology 57 (1987) 457-469.
- [3] Hood A.V.S., Wallace M.W., “*Synsedimentary diagenesis in a Cryogenian reef complex: Ubiquitous marine dolomite precipitati no*” Sedimentary Geology 255–256 (2012) 56-71.
- [۴] لاسمی ی.، ”رخساره ها، محیط های رسوی و چینه نگاری سکانسی نهشته سنگ های پر کامبرین بالای و پالئوزئیک ایران”， سازمان زمین شناسی و اکتشافات معدنی کشور. (۱۳۷۹) ۱۸۰ ص.
- [5] Dickson J. A. D., “*Carbonate identification and genesis as revealed by staining*”, Journal of Sedimentary Petrology 36 (1966) 441–505.
- [6] Sibley D. F., Gregg J. M., “*Classification of dolomite rock textures*”, Journal of Sedimentary Petrology 57 (1987) 967–975.
- [7] Zhang J., Hu W., Qian Y., Wang X., Cao J., Li J.Z.Q., Xie X., “*Formation of saddle dolomites in Upper Cambrian carbonates, western Tarim Basin (northwest China): Implications for fault-related fluid flow*”, Marine and Petroleum Geology 26 (2009) 1428–1440.
- [8] Zhao H., Jones B., “*Genesis of fabric-destructive dolostones: A case study of the Brac Formation (Oligocene), Cayman Brac, British West Indies*”, Sedimentary Geology 267-268 (2012) 36–54.
- [9] Rao C.P., “*Modern Carbonates*”, Hobart, University of Tasmania, Australia, 206 (1996).
- [10] Al-Aasm I.S., “*Chemical and isotopic constraints for recrystallization of sedimentary dolomites from the Western Canada Sedimentary Basin*”, Aquatic Geochemistry 6 (2000) 227-248.
- [11] Al-Aasm I.S., Packard J.J., “*Stabilization of early-formed dolomite: a tale of divergence from two Mississippian dolomites*”, Sedimentary Geology 131(2002) 97-108.
- [12] Gao G., “*Geochemical and isotopic constraints on the diagenetic history of a massive*

- sediments and limestones: a synthesis and review, New Zealand”, Geology and Geophysics 39 (1996) 93–107.*
- [32] Zhang Sh., Qing H., Meng X., “*Petrography and geochemistry of the Cambrian dolomite reservoirs in Tarim Basin NW China: A case study based on deep cores sampled at depths of 7200–8500 m*”, *Geochemical Exploration* 101 (2009) 123.
- [33] Veizer J., Ala D., Azmy K., Bruckschen P., Buhl D., Bruhn F., Carden G.A.F., Diener A., Ebneth S., Godderis Y., Jasper T., Korte C., Pawellek F., Podlaha O.G., Strauss H., “*87Sr / 86Sr and d13C and d18O evolution of Phanerozoic seawater*” *Chemical Geology* 161(1999) 59–88.
- [34] Behrens E.W., Land L.S., “*Subtidal Holocene dolomite, Baffin Bay, Texas*”, *Journal of Sedimentary Petrology* 42 (1972) 155-161.
- [35] Wacey D., Wright D., Boyce A., “*A stable isotope study of microbial dolomite formation in the Coorong Region, South Australia*”, *Chemical Geology* 244 (2007) 155–174.
- [36] Saller A.H., Moore C.H., “*Meteoric diagenesis, marine diagenesis and microporosity in Pleistocene and Oligocene limestones, Eniwetok Atoll, Marshall Islands*”, *Sedimentary Geology* 63 (1989) 253–272.
- [37] Wheler P., Aharon R.E. Ferrell., “*Successions of Late Cenozoic platform dolomites distinguished by texture, geochemistry, and crystal chemistry: Niue, South Pacific*”, *Journal of Sedimentary Research* 69 (1999) 239–255.
- [38] Land L.S., “*The origin of massive dolomite*”, *Journal of Geology Education* 33 (1985) 112-125.
- [39] Given R. K., Wilkinson B.H., “*Kinetic control of morphology, composition, and mineralogy of abiotic sedimentary carbonates*”, *Journal of Sedimentary Petrology* 55 (1985) 109-119.
- [40] Qing H., Mountjoy E.W., “*Multistage dolomitization in Rain bow buildups, Middle Devonian Keg River Formation, Alberta, Canada*”, *Sedimentary Research* 59 (1989) 114-126.
- relation to the Late Variscan evolution”, Marine and Petroleum Geology 23 (2006) 543-568.*
- [22] Reinhold C., “*Multiple episodes of dolomitization and dolomite recrystallization during shallow burial in Upper Jurassic shelf carbonates: eastern Swabian Alb, southern Germany*”, *Sedimentary Geology* 121 (1998) 71–95.
- [23] Warren J., Dolomite: “*occurrence, evolution and economically important associations*”, *Earth Science Review* 52 (2000) 1–81.
- [24] Machel H. G., “*Concepts and models of dolomitization: a critical reappraisal*”, In: Braithwaite, C. J. R., Rizzi G, Darke G, (Eds.), *The Geometry and Petrogenesis of Dolomite Hydrocarbon Reservoirs*. Geological Society of London Special. Publication. 235 (2004) 7–63.
- [25] Choquette P. W., Hiatt E. E., “*Shallow-burial dolomite cement: a major component of many ancient sucrosic dolomites*”, *Sedimentology* 55 (2008) 423–460.
- [26] Reeder R. J., Prosky J. L., “*Compositional sector zoning in dolomite*”, *Journal of Sedimentary Petrology* 56 (1986) 237–247.
- [۲۷] [آدابی م.] ژئوشیمی رسوی، انتشارات آرین زمین صفحه ۴۴۸ (۱۳۸۳)
- [28] Adabi M.H., Rao C.P., “*Petrographic, elemental and isotopic criteria for the recognition of carbonate mineralogy and climates during the Jurassic (e.g. from Iran and England): 13th Geological Convension*”, Australia, (Abstract) 6. (1996)
- [29] Al-Aasm I.S., Veizer J., “*Diagenetic stabilization of aragonite & low-Mg calcite, I. Trace element in rudists*”, *Journal of Sedimentary Petrology* 59 (1986) 138-145.
- [30] Choquette P.W., James N.P., “*Diagenesis in Limestones -3, the deep burial environment*”, *Geoscience Canada* 14 (1987) 3-35.
- [31] Nelson C. S., Smith A. M., “*Stable oxygen and carbon isotope compositional fields for skeletal and diagenetic components in New Zealand Cenozoic nontropical carbonate*

Basin (Upper Ordovician to Lower Devonian) of Oklahoma and Texas. Transactions of Southwest Section”, American Association of Petroleum Geologists Bulletin (1984) 167-173.

[43] Adabi M.H., “*Multistage dolomitization of Upper Jurassic Mozduran Formation, Kopet-Dagh Basin, N.E. Iran*”, *Carbonates and Evaporites* 24 (2009) 16-32

[41] Qing H., Bosence W. J., Rose E., “*Dolomitization by penesaline sea water in Early Jurassic peritidal platform carbonates, Gibraltar western Mediterranean*”, *Sedimentology* 48 (2001) 153-163.

[42] Sternbach C.A., Friedman G.M., “*Ferroan carbonates formed at depth require porosity well log correction: Hunton Group, Deep Anadarko*